

コンクリートの割裂強度試験のBEM応力解析

岩手大学工学部	学生員 ○金野 浩
岩手大学工学部	正員 宮本 裕
岩手大学工学部	正員 藤原 忠司
岩手大学工学部	学生員 佐藤 広

1. まえがき

最近、積分方程式と、有限要素法で行われる離散化手法を組み合わせた境界要素法(BEM)が、工学的問題に適用されてきている。著者らはこれまでいくつかのBEMの研究報告をしてきたが、本報告ではコンクリート供試体の割裂強度試験を例にとりあげた。本報告の主な特徴は次のとおりである。
 ①境界上の変位と応力は線形1次関数により変化するものとする。
 ②集中荷重を分布荷重に換算して計算する。
 ③少數のデータを入力し、それをもとにプログラム中で要素メッシュを自動分割する方法で、簡単な入力データにより解析する。
 ④かど点は2重点を用いる(変位は等しいが、応力は異なる値を有する2点)。
 ⑤節点対要素という考え方でG、Hマトリックスを計算する。

2. 解析理論

2次元弾性問題におけるBEMの基礎関係式は、相反法則などで次式のように示される。

$$c^i u^i + \int_{\Gamma} u^k p^{*ik} d\Gamma = \int_{\Gamma} p_k u^{*ik} d\Gamma \quad (k=1, 2 \quad i=1, 2) \quad (1)$$

ここで、 u^k 、 p_k は、それぞれ k 方向の変位、応力度であり、 u^i は点 i における ℓ 方向の変位であり、 c^i は点 i における境界の状態を示す係数である。また u^{*ik} 、 p^{*ik} はそれぞれ ℓ 方向に作用する単位力により生じた k 方向の変位と応力ベクトルである。これは基本解と呼ばれるものである。¹⁾ 式(1)はテンソル表示なので、各成分の変位と応力について表現すると、式(2)となる。ただし、 (u^*) は u^{*ik} を成分として持つ (2×2) のマトリックスであり、 (p^*) も同様である。

$$(c^i) \{u^i\} + \int_{\Gamma} (p^*) \{u\} d\Gamma - \int_{\Gamma} (u^*) \{p\} d\Gamma \quad (k=1, 2 \quad i=1, 2) \quad (2)$$

さらに $\{u\}$ と $\{p\}$ は線形要素を仮定した場合、 $\{u\} = (\Phi)^T \{u_i\}$ 、 $\{p\} = (\Phi)^T \{p_i\}$ と表される。なお $(\Phi)^T$ は内挿関数と呼ばれるもので、一定要素の場合は不要である。そこで以上の点を考慮して式(2)を n 個の線形要素について考えると次式のようになる。

$$(c^i) \{u^i\} + \sum_{j=1}^n \left\{ \int_{\Gamma} (p^*) (\Phi)^T d\Gamma \right\} \{u_j\} = \sum_{j=1}^n \left\{ \int_{\Gamma} (u^*) (\Phi)^T d\Gamma \right\} \{p_j\} \quad (3) \quad \text{データの入力}$$

式(3)にGaussの4点積分公式を用いて展開すると式(4)になる。

$$\begin{aligned} & (c^i) \{u^i\} + \sum_{j=1}^n \left\{ \sum_{k=1}^q |G|_{jk} w_k ((p^*) (\Phi)^T)_{kj} \{u_j\} \right\} \\ & = \sum_{j=1}^n \left\{ \sum_{k=1}^q |G|_{jk} w_k ((u^*) (\Phi)^T)_{kj} \{p_j\} \right\} \quad (4) \end{aligned}$$

ここで $|G|_{jk} = \sqrt{\ell_j / 2}$ 、 ℓ_j は境界要素 Γ_j の長さである。また q は積分点の個数である。 w_k 、 w_l は積分点での重み係数であり、 $((p^*) (\Phi)^T)_{kj}$ 、 $((u^*) (\Phi)^T)_{kj}$ はそれぞれ積分点における関数値である。さらに式(4)はある点 i (考慮点)と、境界要素全体との関係式であるので、式(4)を境界上のすべての節点 n について考えると、2方向があるので結局 $2n$ 個の方程式が得られる。よって式(4)は次式のように表される。

$$[H] \{u\} = [G] \{p\} \quad (5)$$

式(5)を未知反力と未知変位について解き、この変位を内点の応力および表面応力を計算する式に代入して、内点の応力および表面力を計算する。

これまで各節点の座標値などをそのままデータとして入力していたので、分割数が多くなるとデータ作成作業が比較的煩雑であったが、本報告では特に工夫したことは、少ないデータ(モデルの半径や半径の分割数など)を入力すると、それらをもとに各節点の座標値などをプログラムの中で計算する、いわゆる自動分割方式のプログラムを作ったことである。図-1は計算の主な手続きを表す。

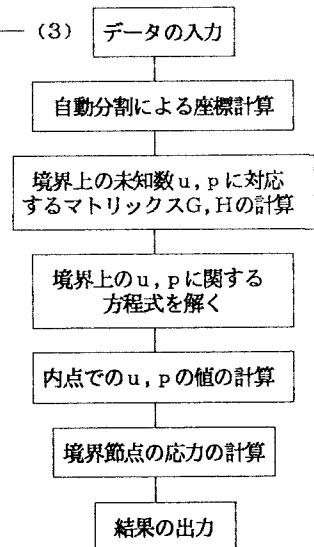


図-1 フローチャート

3. 実験

コンクリート供試体は直径15cm、高さ30cmの円柱とし、普通セメント、川砂および川砂利を使用した。配合は表1のとおりである。

弾性係数とポ

アソン比を求
めるために、
ひずみの測定

はJ I S A 1
1 0 8 に従い

表1 配合表

粗骨材の 最大寸法 (mm)	スランプ (cm)	空気量 (%)	水セメント 比 (%)	細骨材 率 (%)	単位量 (kg/m ³)			
					水	セメント	細骨材	粗骨材
25	6	1	48	41.2	182	379	702	1033

ワイヤーストレインゲージ法により、図-2のようにゲージを取り付けて測定を行った。

圧縮試験の結果、圧縮強度 $\sigma_c = 327 \text{ kg/cm}^2$ ヤング係数 $E = 2.36 \times 10^5 \text{ kg/cm}^2$ ポアソン比 $\mu = 0.194$ が得られた。割裂試験はJ I S A 1 1 1 3に従い図-3のようにして行ったが、弾性解によると引張り強度は $\sigma_t = 2P/\pi d = 29.635 \text{ kg/cm}^2$ となった。これに対してBEM解析を図-4のようなモデルで行うと有限要素法にくらべて比較的少ないデータで実用的な解が得られた。なお図-4のようなモデルにおいて入力荷重データを説明すると、要素⑩の節点15の分布荷重 $p = 2P/\Delta$ (kg/cm^2)とした。(節点16の分布荷重 = 0である。) ここで P = (図-3の場合の全破壊荷重) P / (供試体の高さ) λ であり、

Δ は要素⑩の長さである。

図-5は分割数と解の収束の関係を表す。

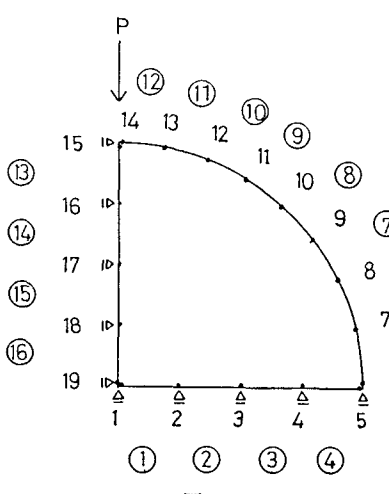
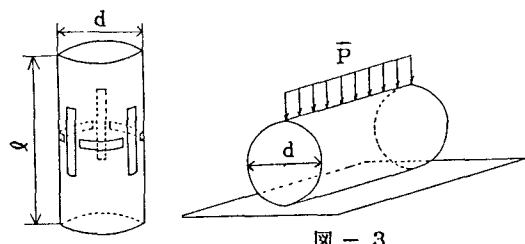


図 - 4

図 - 2

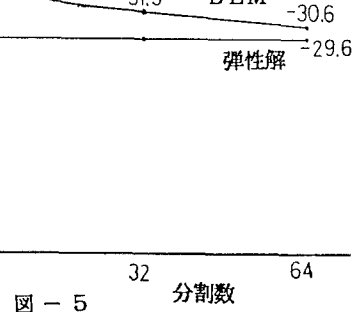


図 - 5

4. あとがき

このBEMの解析結果は実験と比較してもよい結果が得られた。ここで行われた少ない入力データから途中必要な節点データを計算する、いわゆる自動分割方式は、データの形状を変化させBEMを繰り返し用い長時間計算する、最適設計などの応用分野³⁾に役立つものと思われる。

参考文献

- 佐々木一彦・宮本裕・岩崎正二：物体力を考慮した境界要素法による二次元弾性問題の解法、第40回年次学術講演会講演概要、1985年9月
- 宮本裕・岩崎正二・本郷雅俊・角田宏一：2重節点を用いた境界要素法による二次元弾性問題の解法、昭和60年度東北支部技術研究発表会講演概要、1986年3月
- Yutaka MIYAMOTO, Shoji IWASAKI and Hiroyuki SUGIMOTO: On Study of Shape Optimization of 2-Dimensional Elastic Bodies by BEM, 8th International Conference on BEM in Engineering, September 1986